

СТРУКТУРНЫЕ ФУНКЦИИ ЭЛЕКТРОРАСПЩЕПЛЕНИЯ ДЕЙТРОНА ПРИ ПЕРЕДАННОМ ИМПУЛЬСЕ 1,8 ГэВ²

Ю.И. Титов, А.С. Есаулов, Е.В. Инопин,
Р.В. Ахмеров, Е.М. Смелов

Проведено разделение структурных функций электрорасщепления дейтрана у порога в релятивистской области при $q_{\max}^2 = 1,8 \text{ ГэВ}^2$ и $\nu = 0,5 \dots 0,65 \text{ ГэВ}$.

Исследование нуклон-нуклонного (NN) потенциала является одной из фундаментальных задач физики адронов. Особенно актуальны сведения о NN -взаимодействии вне массовой поверхности на малых расстояниях. Их можно получить из электрорасщепления дейтрана при больших переданных импульсах. В этих условиях должен проявиться кумулятивный эффект, интерпретируемый как рассеяние на состоянии, являющемся „перекрытием” двух нуклонов^{1,2}. Перекрытие приводит к образованию шестикваркового ($6Q$) состояния, которое, по-видимому, сыграет важную роль в построении NN -потенциала на расстояниях менее 10^{-13} см .

До сих пор считалось, что основную информацию о $6Q$ -состоянии даст структурная функция $A(q^2)$ в упругом рассеянии электронов на дейтране¹. Согласно правилам кваркового счета, для больших значений квадрата переданного 4-импульса q^2 должно выполняться соотношение: $A(q^2) \sim q^{-20}$. Но даже при q^2 около 6 ГэВ² показатель степени не превышает 12³. Более того, зависимость $A(q^2)$ удается описать дипольной формулой, т.е. с показа-

телем степени 8^4 . При гораздо меньших q^2 ($1 \dots 2 \text{ ГэВ}^2$) заметная чувствительность ко вкладу $6Q$ -состояния предсказывается для магнитного формфактора дейтрана¹. Однако существующие проекты его измерения при таких больших q^2 ^{1,5} еще далеки от реализации. Информацию, аналогичную магнитному формфактору, может дать и структурная функция электрорасщепления дейтрана $W_1(q^2, \nu)$. Для ее определения при $q^2 = 1 \dots 2 \text{ ГэВ}^2$ недостаточно полученных ранее данных под малыми углами⁶. Необходимы измерения для больших углов рассеяния электронов. Такой эксперимент возможен на Харьковском ускорителе ЛУЭ-2000. В настоящей работе представлен первый результат для магнитной структурной функции дейтрана W_1 в релятивистской области переданных импульсов.

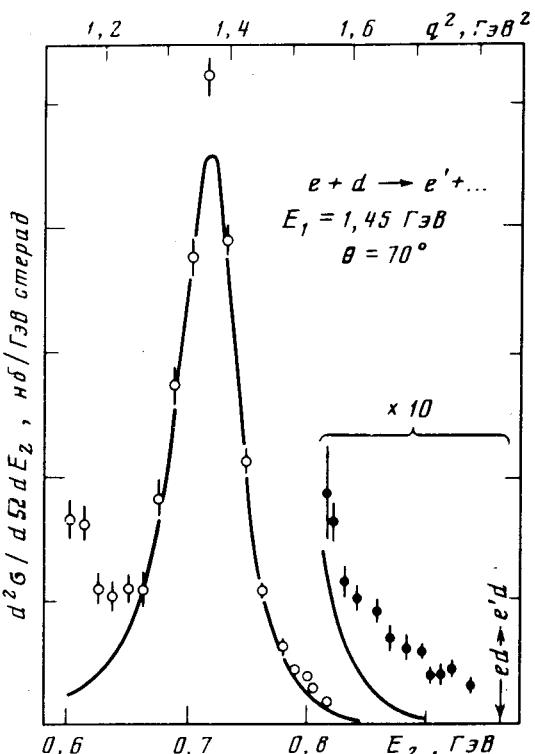


Рис.1 Спектр неупругого рассеяния электронов на дейтроне

Измерен спектр электронов вблизи порога расщепления дейтрана при начальной энергии $E_1 = 1,45 \text{ ГэВ}$ и под углом рассеяния $\theta = 70^\circ$ максимальным значением $q^2 = 1,8 \text{ ГэВ}^2$. Использовалась жидкодейтериевая мишень толщиной 5 см, а также жидковородная мишень для калибровочных измерений и пустой аппендикс мишени для вычитания фона. Экспериментальная установка ранее применялась для исследования электророждения пионов⁷. Результаты измерений спектра показаны на рис.1. Сечение у порога расщепления дейтрана, отмеченного стрелкой, содержит вклад упругого рассеяния, но количественно им можно пренебречь. При обработке спектра экспериментальное разрешение учитывалось одновременно с радиационной поправкой⁷.

Сечение в области пика квазиупругого рассеяния на рис.1 сравнивается с предсказаниями дисперсионной теории Дюранда⁸. Несмотря на большое значение q^2 , согласие в области максимума пика вполне удовлетворительное. У порога необходим иной подход к описанию экспериментальных данных. В этой области релятивистский расчет на основании квантовой хромодинамики сделан в работе⁹, но окончательное выражение приведено лишь для структурной функции W_2 .

Сечение электрорасщепления дейтрана в той же, что и в настоящей работе, области переданных энергий ν и импульсов q^2 измерены на ускорителе SLAC под углом 8° и при начальной энергии электронов около 10 ГэВ⁶. Это дает возможность разделить вклад структурных функций W_1 и W_2 , определяемых соотношением:

$$\frac{d^2 \sigma}{d\nu dE_2} = \frac{\sigma_M}{\nu} [\nu W_2(q^2, \nu) + 2\nu \operatorname{tg}^2 \frac{\theta}{2} W_1(q^2, \nu)]. \quad (1)$$

Результаты разделения показаны на рис.2. Закрытые кружки – безразмерная структурная функция νW_1 , соответствующая магнитному рассеянию, а открытые – νW_2 . Систематическая ошибка в νW_1 для $\nu \approx 0,5$ ГэВ составляет 8% и нарастает до 18% при $\nu \approx 0,64$ ГэВ. В функции νW_2 систематическая ошибка составляет 20%⁶.

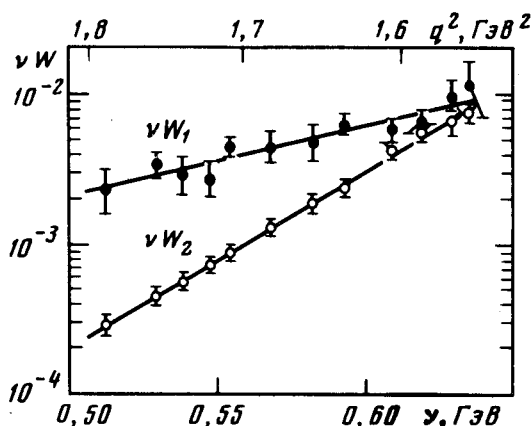


Рис. 2

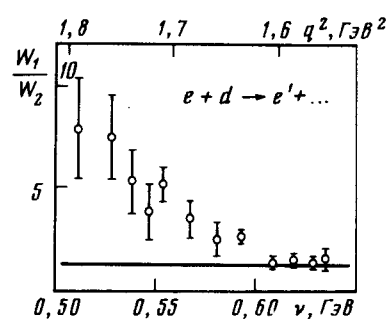


Рис. 3

Рис. 2. Структурные функции электрорасщепления дейтрана

Рис. 3. Отношение структурных функций электрорасщепления дейтрана. Кривая – отношения W_1 / W_2 для упругого рассеяния электронов на протоне и нейтроне

Ранее разделение структурных функций дейтрана в неупругом рассеянии электронов проводилось лишь в нерелятивистской области при q^2 , меньших по порядку величины¹⁰. Большие значения q^2 отличаются рядом особенностей. Переданная энергия ($0,5 \dots 0,6$ ГэВ) составляет значительную часть начальной ($1,45$ ГэВ), т.е. процесс становится глубоко неупругим. Импульс нуклона, на котором происходит рассеяние, у порога достигает 720 МэВ / с. Такой большой импульс начального нуклона (или импульс нуклона отдачи в импульсном приближении) уже можно связать с рассеянием на $6Q$ -состоянии дейтрана. Немаловажное значение для интерпретации данных имеет и относительный импульс разлетающихся нуклонов. В пороге электрорасщепления эта величина равна нулю, но быстро растет по мере увеличения переданной энергии, следовательно, учет обменных мезонных токов и взаимодействия в конечном состоянии имеет важное значение лишь в узкой части спектра у порога. По этой причине электрорасщепление дейтрана сможет дать более однозначную информацию о кварковой структуре по сравнению с магнитным формфактором дейтрана, где обменные мезонные токи маскируют вклад $6Q$ -состояния.

Отношение W_1/W_2 приведено на рис.3. У порога эта величина достигает 7,9 и падает по мере увеличения ν . Вблизи максимума пика квазиупругого рассеяния значение W_1/W_2 стремится к отношению структурных функций упругого рассеяния на протоне и нейтроне, показанному сплошной кривой. Большая величина W_1/W_2 , полученная в настоящей работе, показывает, что у порога уже под углом 70° рассеяние в основном магнитное. Это дает возможность в эксперименте надежно и точно определять структурную функцию W_1 .

Существующие теории пока не позволяют количественно интерпретировать полученные результаты, но дальнейший прогресс в этой области сделает, по-видимому, доступной информацию о потенциале NN -взаимодействия на малых расстояниях и 6 Q -состоянии дейтранона.

Литература

1. Arnold P.G. Lecture Notes in Physics, 1979, 108, 76.
2. Кобушкин А.П. ЯФ, 1978, 28, 495.
3. Карманов В.А., Шапиро И.С. ЭЧАЯ, 1978, 9, 328.
4. Инопин Е.В., Нагорный С.И., Титов Ю.И. Вопросы атомной науки и техники, серия : Общая и ядерная физика, 1982, вып.1, 77.
5. Титов Ю.И. Тезисы докладов 31 совещания по ядерной спектроскопии и структуре атомного ядра, Сармаканд, 14 – 16 апреля, 1981, 367.
6. Schütz W.P. et al. Phys. Rev. Lett., 1977, 38, 259.
7. Esaukov A.S. et al. Nucl. Phys., 1978, B 136, 511.
8. Durand J.L. Phys. Rev., 1959, 115, 1020.
9. Frankfurt L.L., Strikman M.I. Preprint LNPI -559, 1980.
10. Simon G.G. et al. Abstracts of contributed papers to International conference on Nuclear Physics with electromagnetic interactions, Mainz, Germany, June 5 – 9, 1979, 77.

Физико-технический институт
Академии наук Украинской ССР

Поступила в редакцию
24 июля 1982 г.